

УДК 612.822.3

ДИНАМІКА БІОЕЛЕКТРИЧНОЇ АКТИВНОСТІ НЕЙРОННО ІЗОЛЬОВАНОЇ ПІВКУЛІ ГОЛОВНОГО МОЗКУ В ХРОНІЧНОМУ ДОСЛІДІ

М. І. Никифоров, А. Г. Городник, В. Х. Матрєшин

Кафедра нормальної фізіології Донецького медичного інституту

Дослідження електричної активності кори, позбавленої аферентної імпульсації, провадиться з допомогою кількох способів. Один з них передбачає вивчення біопотенціалів ізольованої смужки кори [1, 3, 9, 17 а, б, 19, 22, 23, 26]. Цей метод дозволяє судити про біоструми порівняно нескладного фізіологічного препарату, в якому можливі тільки корково-коркові циклічні взаємовідношення. Другий методичний прийом виявляє особливості електрокортікограм (ЕКоГ) ізольованих півкуль, виключення яких досягається шляхом перерізки променистого вінця таламуса [12 а, б, 14, 15 а]. Якщо необхідно провести вивчення функцій однієї півкулі, то согора radiata розтинається з одного боку і додатково перерізаються комісуральні зв'язки півкуль. Після вказаних операцій в нейронно ізольованій півкулі зберігаються корково-коркові та корково-каудальні нейронні круги.

Дослідники, які вивчають біоструми ізольованої смужки кори, надводять суперечні дані про її біоелектричну активність. Кристіансен та ін. [23] відзначали в ній повільні ритмічні коливання, а Бернс [17 б] реєстрував лише дуже слабку спонтанну активність. Згодом Інгвар [22], Графстейн та ін. [20], Ехлін [19], Богословський [3] описали в смужці кори виразну спонтанну електричну активність, яка характеризується значною мінливістю (непостійністю як частоти, так і амплітуди біострумів). Наприклад, поряд з окремими піками в смужці кори реєструються повільні хвилі, які мають періодичність 1—2 коливання за сек. В окремих препаратах кори мозку були відзначенні високочастотні ритми до 40 гц. За даними наведених авторів, амплітуда біоелектричних хвиль в ізольованій смужці кори коливається від 10 до 300 мкв. Аладжалова [1] одночасно з окремими піками та хвильами частотою від 1 до 40 коливань за 1 сек реєструвала в ізольованій смужці кори надповільні коливання.

Вивчення коркової активності ізольованої півкулі, проведене Хананашвілі [14, 15 а, б], Серковим та ін. [12 а, б], Серковим [13], Арбузовим та ін. [2], показує велику різноманітність біопотенціалів та залежність їх характеру від строків, що минули після операції.

Отже, праці більшості дослідників підтверджують наявність спонтанної біоелектричної активності в препаратах із значними порушеннями корково-коркових нейронних циклів (ізольована смужка кори), а також при збереженні корково-коркових та корково-каудальних взаємовідношень (препарати неокортекса у таламічних та стріарних тварин).

Мета цього дослідження полягала в дальнішому вивчені біоелектричної активності кори нейронно ізольованої півкулі, а також у проведенні частотно-амплітудного та фармакологічного аналізу, спрямованого до з'ясування генезу ЕКоГ.

Методика досліджень

Досліди проведені на 50 кроликах, у яких здійснювали нейронно-анатомічну ізоляцію півкуль з урахуванням методик, запропонованих Хананашвілі [14, 15 а, б], Серковим та ін. [12 а, б]. Трепанацию черепа у кроликів провадили, починаючи від лобово-тім'яного шва, до пункту, розташованого на відстані 5–6 мм попереду від bregma (на рівні A5 – APO за атласом Сойера та ін. [27]). Трепанацийний отвір шириною 3–4 мм розташовується від серединної лінії в бік ізольованої півкулі. При однобічному виключенні кори та гангліїв стріопалідарної системи роблять розріз від

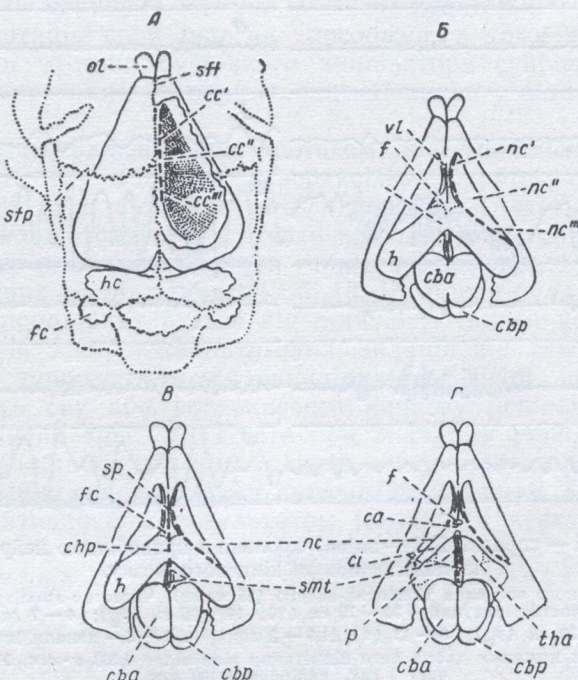


Рис. 1. Топографія перерізок деяких провідних шляхів кінцевого мозку у кроликів (вид зверху). Перерізки позначені потовщеними переривчастими лініями.

A — перетинання мозолистого тіла (показана видаленою частиною сірої речовини правої півкулі). *B* — операція виключення нової кори та базальних гангліїв; перетинання внутрішньої капсули (схематичне зображення мозку з виділеними мозолистим тілом, епіфізом, верхньою та задньою частинами півкуль); на рис. *G* крім того видалені амонів ріг і частина склепіння). *C* — схематичне зображення мозку, як і на рис. *B*; операція перерізки комісуральних та проекційних шляхів правої півкулі (спайки морського коня, передньої комісурі та всіх провідних шляхів між зоровим бугром і центрами кінцевого мозку). *sff* — міжлобковий шов; *sfp* — лобово-тім'яний шов; *ca* — передня спайка; *cba* — переднє двогорб'я; *cbp* — заднє двогорб'я; мозолисте тіло (*cc'* — коліно; *cc''* — стовбур; *cc'''* — валик); *chp* — спайка морського коня; *ci* — внутрішня капсула; *f* — склепіння; *fc* — клаптик мозочка; *h* — амонів ріг; *s* — півкуль мозочка; *nc* — хвостате ядро (*nc'* — головка; *nc''* — тіло; *nc'''* — хвіст); *ol* — нюхова цибулина; *p* — підушка зорового бугра; *smt* — нюхово-узdevkovий тракт; *spr* — прозора перегородка; *th a* — передні ядра таламуса; *vL* — передні ядра бокового шлуночка.

А7 до Р6 через поздовжню мозкову щілину (fissura longitudinalis cerebri). Тонким очним скальпелем (шириною 1,5 і довжиною 20 мм), на якому нанесені міліметрові поділки в області cingulum на глибині 5–7 мм (від поверхні мозку) попереду від лобово-тім'яного шва і на глибині 5 мм позаду від нього перетинається мозолисте тіло (рис. 1, А). Після цього оголюється порожнина бокового шлуночка, куди потім вводять скальпель. Внутрішню капсулу перетинають під кутом 45° до поверхні черепа нижче хвостатого ядра (рис. 1, Б та Г). Попереду від лобово-тім'яного шва розріз внутрішньої капсули на глибині 11–12,5 мм проходить паралельно серединній лінії. При перетині проекційних шляхів позаду bregma скальпель занурюється майже до основи мозку. Кут цього розрізу по відношенню до серединної лінії в горизонтальній площині становить приблизно 35° (рис. 1, Б та Г).

При необхідності виключення не тільки нової кори і базальних гангліїв, а також старої та древньої кори перерізають спайку морського коня (рис. 1, В) і передню комісуру. Comissura hippocampi перетинають на протязі від A1 до Р6 (попереду від лобово-тім'яного шва на глибину до 8 мм і позаду від нього на глибину 6–7 мм). Передню спайку розтинають по серединній лінії на глибині 11 мм між пунктами, розташованими на 1–3 мм попереду від лобово-тім'яного шва (A1–A3).

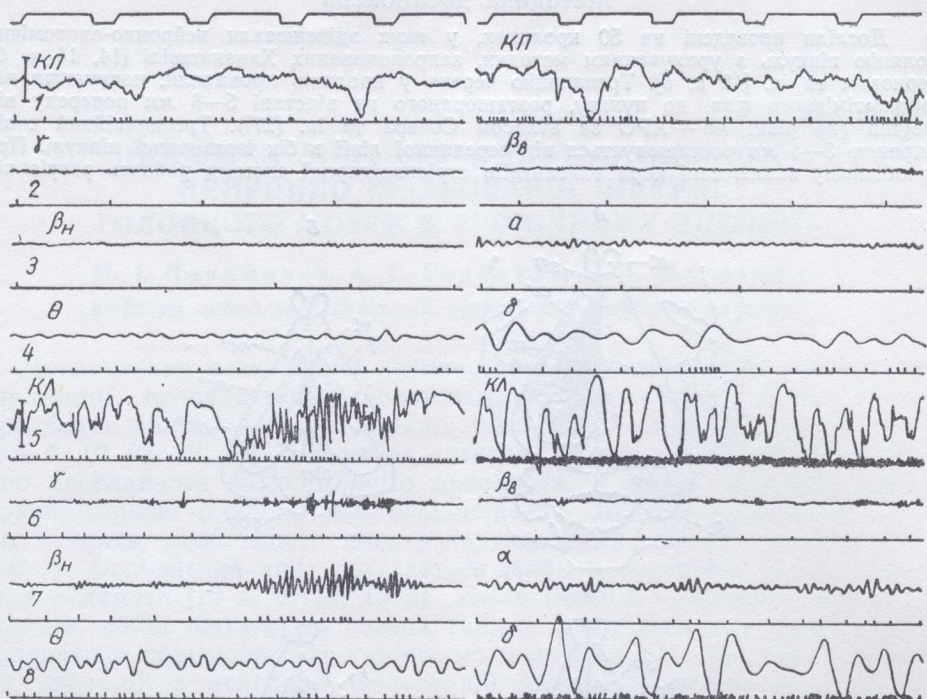


Рис. 2. ЕКоГ (КП — справа, КЛ — зліва) кролика з правобічною нейронно-анатомічною ізоляцією півкулі кінцевого мозку.

5 хв після внутрішнього введення тіопентал-натрію (25 мг/кг). Частотно-амплітудний аналіз у сумігах частот: у лівій частині рисунка — 31–70 гц (γ); 14–20 гц (β_H); 4–7 гц (θ); у правій частині рисунка — 21–30 гц (β_B); 8–13 (α); 11,5–3 гц (δ). 1–8 — канали інтегрального сигналізатора. Відстань між кожними двома його відмітками відповідає 0,233 в. сек. Уніполярно. Відмітка часу 1 сек, каліброка 100 мкв.

Наведена топографія оперативних втручань у мозок використана нами для кроликів вагою 3 кг. При операціях на піддослідних тваринах меншої ваги розміри перерізів змінювали пропорціонально до зменшення розмірів черепа.

Біострумів відводили від коркових полій 3–7, 12 за атласом Бродмана [18] біополярними та уніполярними металевими електродами діаметром 70–150 мк. Відстань між кінчиками біополярних електродів становила 0,5 мм. Електричні потенціали реєстрували чотириканальним чорниломопищучим енцефалографом «МТ-014 Orion», восьмиканальним приладом «МБ 5202» з аналізатором «МБ 5204» та інтегратором «МБ 5203».

Реєстрацію біострумів починали через 6–8 год після операції і продовжували протягом одного-двох місяців. У досліджуваних кроликів гістологічно підтверджено повну ізоляцію півкуль.

Результати дослідження

Біоелектрична активність півкуль у різні строки після нейронно-анатомічної ізоляції. Перетинання кортико-петальних та кортико-фугальних проекційних шляхів супроводжується зниженням амплітуди коливань біопотенціалів кори, зменшенням частоти коливань (рис. 2), майже повним зникненням Θ -ритму; в ізольованій корі відсутні потенціали, викликані будь-яким (крім